



中国科学技术大学

University of Science and Technology of China

# § 6.5 负反馈放大器的 稳定性

**lugh@ustc.edu.cn**

**2016年11月29日**

1. 稳定性问题
2. 反馈深度对闭环极点的影响
3. 稳定性判断

# 1. 稳定性问题

## ■ 负反馈放大器稳定性的影响因素

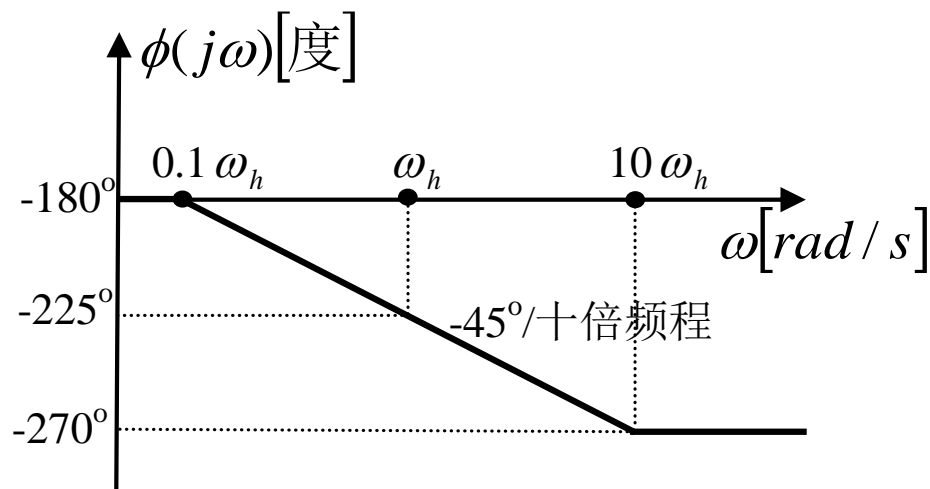
- 附加相移
- 中频反馈深度

## ■ 附加相移

- 附加相移指的是以中频相移为基准，把偏离基准相移的相移称为附加相移
- 多级负反馈放大器附加相移较大，可能使原本设计在中频的负反馈变为正反馈，从而导致放大器自激

# 1. 稳定性问题

## ■ 定性分析



## ■ 说明

- 单极点**CE**负反馈放大器最大附加相移为 **$90^\circ$** ，负反馈不会变正反馈，两级放大器最大附加相移为 **$180^\circ$** ，也不会变正，只有三级以上的放大器才可能使负变正

# 1. 稳定性问题

## ■ 定量讨论

$$A_f(s) = \frac{A(s)}{1 + A(s)F(s)} = \frac{A(s)}{D(s)} = \frac{X_o}{X_i}$$
$$\Rightarrow A_f(s) = \infty \Rightarrow 1 + AF = 0 \Rightarrow AF = -1$$

## ■ 自激振荡临界条件

□ 满足临界幅相条件时，负反馈放大器将产生自激振荡

$$AF = -1 \begin{cases} |AF| = 1, & \text{幅度条件} \\ \varphi(j\omega) = \varphi_A(j\omega) + \varphi_F(j\omega) = \pm 180^\circ, & \text{相位条件} \end{cases}$$

## 2. 反馈深度对闭环极点的影响

### ■ 系统极点分布决定系统稳定性

- 稳定性问题可以从另外的角度出发，利用第一章极点分布的结论：若系统极点全部位于 $S$ 平面的左半平面则为稳定系统，若有极点落在虚轴或右半平面则该系统不稳定

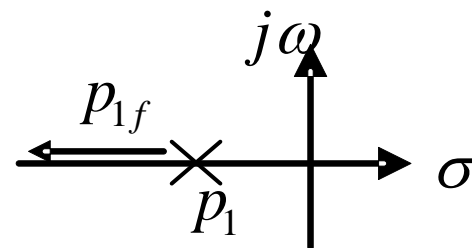
## 2. 反馈深度对闭环极点的影响

### ■ 单极点系统

$$\begin{cases} A(s) = \frac{A_0}{1 - \frac{s}{p_1}} \Rightarrow A_f(s) = \frac{A(s)}{D(s)} \\ p_1 < 0 \end{cases}$$

$$\Rightarrow D(s) = 1 + A(s)F_0 = 1 + \frac{A_0}{1 - \frac{s}{p_1}} F_0 = 0$$

$$\Rightarrow p_{1f} = (1 + A_0 F_0) p_1 = D_0 p_1$$



□ 结论：单极点系统无论反馈深度多大，系统仍将稳定

## 2. 反馈深度对闭环极点的影响

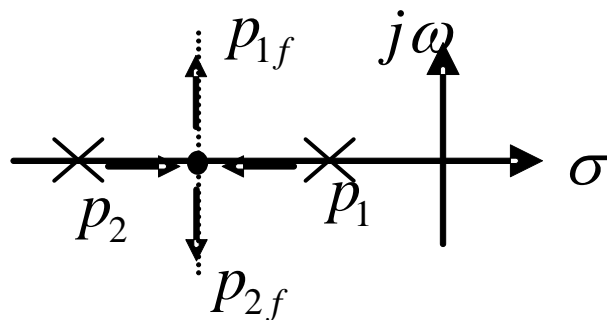
### ■ 双极点系统

$$\left\{ \begin{array}{l} A(s) = \frac{A_0}{(1 - \frac{s}{p_1})(1 - \frac{s}{p_2})} \Rightarrow 1 + \frac{A_0}{(1 - \frac{s}{p_1})(1 - \frac{s}{p_2})} F_0 = 0 \\ p_1, p_2 < 0 \end{array} \right.$$
$$\Rightarrow p_{1f}, p_{2f} = \frac{p_1 + p_2}{2} (1 \pm \sqrt{1 - \frac{4D_0 p_1 p_2}{(p_1 + p_2)^2}})$$



## 2. 反馈深度对闭环极点的影响

$$\left\{ \begin{array}{l} D_0 = 1 \text{ 时 } p_{1f} = p_1, \quad p_{2f} = p_2 \\ \frac{4D_0 p_1 p_2}{(p_1 + p_2)^2} = 1 \text{ 时 两极点相等, } p_{1f}, p_{2f} \text{ 重合为 } \frac{p_1 + p_2}{2} \\ \frac{4D_0 p_1 p_2}{(p_1 + p_2)^2} > 1 \text{ 时 } p_{1f}, p_{2f} \text{ 为共轭复极点, 实部不变仍为 } \frac{p_1 + p_2}{2}, \text{ 虚部分开。} \end{array} \right.$$

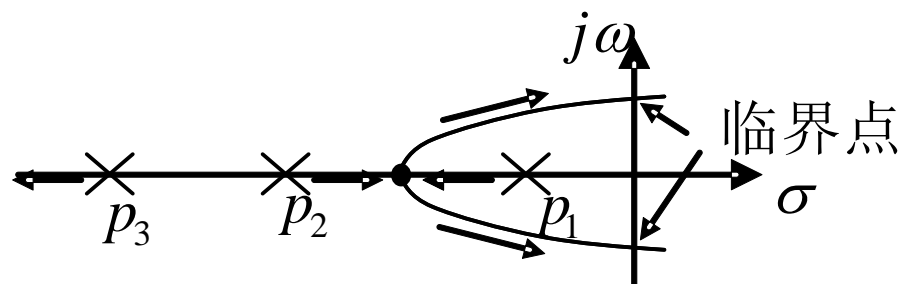


□ 结论：双极点系统无论反馈深度多大，系统仍将稳定

## 2. 反馈深度对闭环极点的影响

### ■ 三极点系统

$$A(s) = \frac{A_0}{(1 - \frac{s}{p_1})(1 - \frac{s}{p_2})(1 - \frac{s}{p_3})}$$



- 结论：对三极点及以上系统，当反馈深度大到某一值时，闭环极点就会进入右半平面，造成系统不稳定

# 3. 稳定性判断

## ■ 稳定性分析思路

- 利用稳定系统的极点分布特点来进行分析
- 利用自激振荡的振幅和相位条件来进行分析

## ■ 稳定性判断方法

- 临界点法
- 交界频率法
- 波特图法

# (1) 临界点法

## ■ 基本思路

- 定义闭环极点刚好位于虚轴上的情况为临界点，利用稳定系统的极点应分布在 $s$ 平面虚轴左侧这个特点来进行分析

## ■ 分析步骤

### 第一步

令  $D(S)|_{S=j\omega} = 0$  (为  $D(S)=0$  和  $S=j\omega$  的交点) 求出临界点处的  $\omega_0$  和  $D_{0\text{临界}}$

### 第二步

$D_0 < D_{0\text{临界}}$  时，系统稳定； $D_0 > D_{0\text{临界}}$  时，系统不稳定

# (1) 临界点法

## ■ 例：用临界点法判断系统的稳定性

已知  $A(s) = \frac{A_0}{(s+1)(s+2)(s+3)}$ ,  $F = F_0$ , 试求使系统稳定的中频反馈深度应满足的条件

# (1) 临界点法

解：

$$D(s) \Big|_{s=j\omega} = 1 + A(s)F_0 \Big|_{s=j\omega} = 0$$

$$\Rightarrow (1 + j\omega)(2 + j\omega)(3 + j\omega) + A_0F_0 = 0$$

$$\Rightarrow 6 + j11\omega - 6\omega^2 - j\omega^3 + A_0F_0 = 0$$

$$\Rightarrow \begin{cases} \omega_0 = \pm\sqrt{11}rad/s \\ A_0F_0 = 60 \Rightarrow D_{0\text{临}} = 61 \end{cases} \Rightarrow D_0 < 61$$

## (2) 交界频率法

### ■ 基本思想

- 根据自激振荡的振幅和相位条件来判断系统的稳定性

### ■ 相位交界频率 $\omega_p$

- 满足相位临界条件时的工作频率

$$\angle A(j\omega_p)F(j\omega_p) = \pm 180^\circ$$

## (2) 交界频率法

### ■ 增益交界频率 $\omega_g$

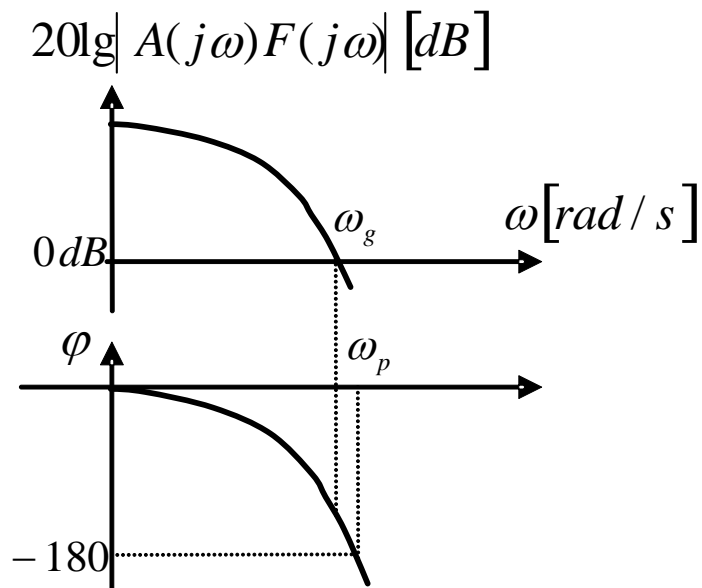
□ 满足振幅临界条件时的工作频率

$$\left| A(j\omega_g)F(j\omega_g) \right| = 1$$

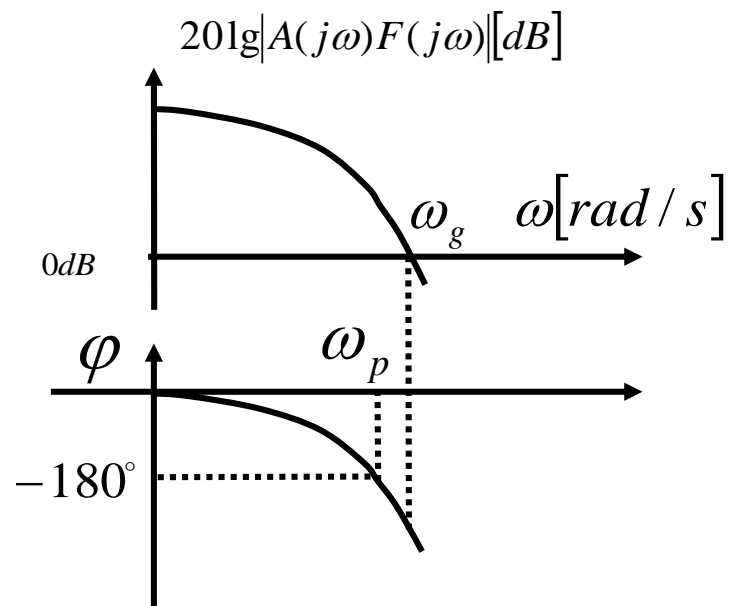


## (2) 交界频率法

### ■ 判断依据



$\omega_g < \omega_p$ : 系统稳定



$\omega_g \geq \omega_p$ : 系统不稳定

## (2) 交界频率法

- 例：利用相位交界频率和增益交界频率判断稳定性

已知  $A(s)F(s) = \frac{4}{(1+s)^3}$ ，试分析该系统的稳定性

## (2) 交界频率法

解：

$$\text{令 } |AF| = \frac{4}{|(1 + j\omega_g)^3|} = 1 \Rightarrow \omega_g = 1.23 \text{ rad} / \text{s}$$

$$\text{令 } \varphi_{AF}(j\omega_p) = -180^\circ \Rightarrow \omega_p = 1.73 \text{ rad} / \text{s}$$

由于  $\omega_g < \omega_p \Rightarrow$  系统稳定

## (2) 交界频率法

### ■ 稳定裕量

- 实际工作中，设计时要求放大器不但可以稳定工作，同时还需留有一定的裕量
- 所谓裕量，指的是系统离临界稳定有一定富裕度

### ■ 增益裕量

- 在相位交界频率处，环路增益和临界点（0dB）之差

$$G_p = -20\lg|A(j\omega_p)F(j\omega_p)|$$

## (2) 交界频率法

### ■ 相位裕量

- 在增益交界频率处， $\varphi_{AF}(j\omega_g)$ 与临界点处相位之差

$$\gamma = \varphi_{AF}(j\omega_g) - (-180^\circ)$$

### ■ 判断依据

- 增益裕量>0dB或者相位裕量>0度，系统均稳定

## (2) 交界频率法

解：

方法二：

$$\text{令 } |AF| = \frac{4}{|(1 + j\omega_g)^3|} = 1 \Rightarrow \omega_g = 1.23 \text{ rad/s}$$

$$\varphi_{AF}(j\omega_g) = -3 \arctan \omega_g = -152.67^\circ$$

$$\Rightarrow \gamma = 27.33^\circ \Rightarrow \text{系统稳定}$$

方法三：

$$\text{令 } \varphi_{AF}(j\omega_p) = -180^\circ \Rightarrow \omega_p = 1.73 \text{ rad/s}$$

$$G_p = 0 - (-6\text{dB}) = 6\text{dB} > 0\text{dB} \Rightarrow \text{系统稳定}$$

## (3) 波特图法

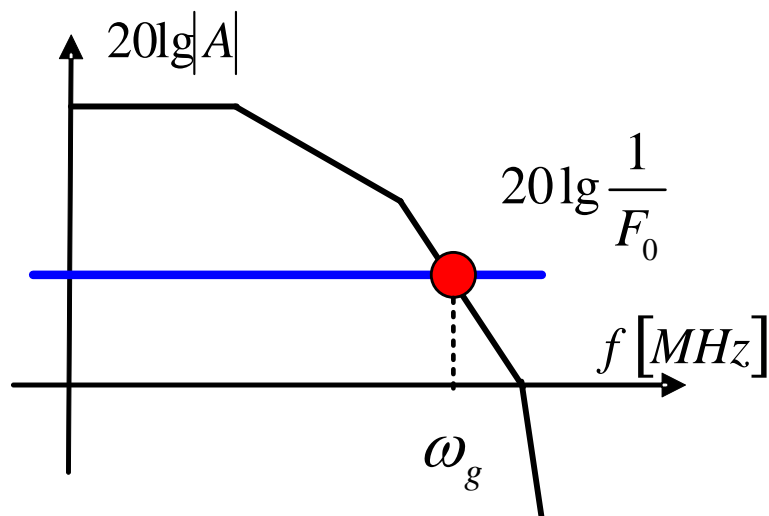
### ■ 前提条件

- 反馈网络为纯阻网络的负反馈放大器

### ■ 基本思路

- 纯阻网络的反馈函数不受工作频率的影响，不会影响环路增益的相位交界频率
- 利用幅频波特图，可以非常直观地求出增益交界频率

### (3) 波特图法



#### ■ 说明

- 波特图方法其实是交界频率方法的一种简化实现方法



### (3) 波特图法

#### ■ 例：反馈系数未知时的稳定性分析

已知  $A(s) = \frac{8 \times 10^2}{(s+1)(s+2)(s+4)}$ ,  $F = F_0$ , 试求使该系统稳定的  $F_{0\max}$

### (3) 波特图法

解：

第一步：先归一化处理 $A(s)$ ，求 $\omega_p$ ：

$$\varphi_A(j\omega_p) = -45\lg \frac{\omega_p}{0.1} - 45\lg \frac{\omega_p}{0.2} - 45\lg \frac{\omega_p}{0.4} = -180^\circ$$

$$\Rightarrow \omega_p = 4.3 \text{ rad/s}$$

第二步：验证解的有效性：

$$0.4 < \omega_p < 10 \Rightarrow \text{各项表达式无需修正}$$

第三步：求 $F_{0\max}$

$$\text{令 } \omega_g = \omega_p, \text{ 则根据 } 20\lg|A(j\omega_g)| = 20\lg\left|\frac{1}{F_{0\max}}\right|$$

$$\text{有: } 20\lg \frac{8 \times 10^2}{2 \times 4} - 20\lg \frac{4.3}{1} - 20\lg \frac{4.3}{2} - 20\lg \frac{4.3}{4} \approx 20\text{dB}$$

$$\Rightarrow F_{0\max} = 0.1 \text{ 即 } -20\text{dB}$$

### (3) 波特图法

例：已知多级放大器的中频增益 $A_0 = 10^3$ ，三个极点的转角频率分别为 $f_1 = 1\text{MHz}$ ， $f_2 = 10\text{MHz}$ ， $f_3 = 100\text{MHz}$ 。

- (1) 写出该放大器的增益传递函数 $A(jf)$ 的表达式。
- (2) 若加纯阻反馈网络， $F_0 = 0.01$ ，判断电路能否稳定工作。
- (3) 若要求电路有 $60^\circ$ 的相位裕量，问 $F_0$ 为多少。

### (3) 波特图法

解: (1) 
$$A(jf) = \frac{10^3}{(1 + \frac{jf}{10^6})(1 + \frac{jf}{10^7})(1 + \frac{jf}{10^8})}$$

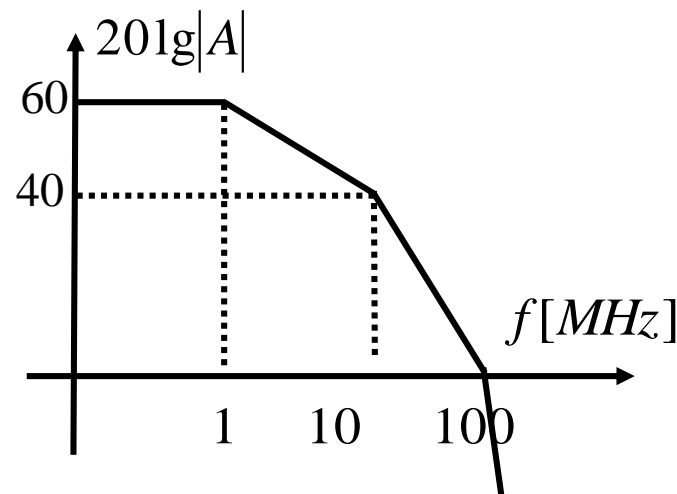
(2) 由  $F_0 = 0.01$ , 得到  $20\lg \frac{1}{F_0} = 40\text{dB}$ ,

令  $|A(jf_g)| = \frac{1}{|F_0|}$ , 则由BODE图,  $f_g = 10\text{MHz}$ ,

此时  $\varphi_A(f_g) = -135^\circ$ ,  $\gamma = 45^\circ$ , 系统可以稳定工作。

(3) 若  $\gamma = 60^\circ$ , 则  $\varphi_A(f_g) = -45\lg \frac{f_g}{0.1} - 45\lg \frac{f_g}{1} = -120^\circ$ , 得到  $f_g = 6.84\text{MHz}$ ,

此时  $20\lg|A(jf_g)| = 60 - 20\lg \frac{6.84}{1} = 43.3\text{dB}$ , 即  $A(jf_g) = 146.2$ ,  $F_0 = 0.0068$ .



# 本章小结

## ■ 反馈的概念

- 熟悉反馈的基本定义、反馈极性和四种反馈类型
- 熟悉单环负反馈放大器的理想模型
- 熟悉负反馈放大器的交流性能指标的定义
- 牢记基本反馈方程式，熟练掌握各种反馈类型中满足该式的增益函数类型
- 熟悉负反馈对放大电路各种性能的影响

# 本章小结

- 负反馈放大器的交流分析
  - 牢记各种反馈类型所对应的求解F网络反馈函数的等效电路模型

# 本章小结

- 深度负反馈放大器的交流分析
  - 理解深度负反馈的作用
  - 牢记深度负反馈条件及其推论
  - 熟悉深度负反馈放大器的分析方法和分析步骤

# 本章小结

## ■ 负反馈放大器的稳定性分析

- 掌握产生自激振荡的临界条件
- 熟悉相位交界频率与增益交界频率的定义
- 熟悉相位裕量和增益裕量的定义
- 掌握临界值法、交界频率、稳定裕量及波特图方法分析负反馈放大器的稳定性